



Московский государственный технический университет  
имени Н. Э. Баумана

## Методические указания

**В.В. Дубинин, Ю.Н. Жигулевцев,  
В.В. Витушкин**

**АВТОМАТИЗИРОВАННЫЙ  
ЛАБОРАТОРНЫЙ КОМПЛЕКС  
«ВЫНУЖДЕННЫЕ КОЛЕБАНИЯ  
МЕХАНИЧЕСКОЙ СИСТЕМЫ  
С ИНЕРЦИОННЫМ ВОЗМУЩЕНИЕМ»  
ТМл-07М**

Издательство МГТУ им. Н. Э. Баумана

Московский государственный технический университет  
имени Н.Э. Баумана

В.В. Дубинин, Ю.Н. Жигулевцев,  
В.В. Витушкин

АВТОМАТИЗИРОВАННЫЙ  
ЛАБОРАТОРНЫЙ КОМПЛЕКС  
«ВЫНУЖДЕННЫЕ КОЛЕБАНИЯ  
МЕХАНИЧЕСКОЙ СИСТЕМЫ  
С ИНЕРЦИОННЫМ ВОЗМУЩЕНИЕМ»  
ТМл-07М

*Методические указания к выполнению лабораторной  
работы по курсу «Теоретическая механика»*

Москва  
Издательство МГТУ им. Н.Э. Баумана  
2010

УДК 531.3  
ББК 22.21  
Д79

Р е ц е н з е н т *A.B. Konaev*

- Дубинин В.В.**  
Д79      Автоматизированный лабораторный комплекс «Вынужденные колебания механической системы с инерционным возмущением» ТМл-07М: метод. указания к выполнению лабораторной работы по курсу «Теоретическая механика» / В.В. Дубинин, Ю.Н. Жигуловцев, В.В. Витушкин. – М. : Изд-во МГТУ им. Н.Э. Баумана, 2010. – 26, [2] с. : ил.

Приведено описание лабораторного комплекса, предназначенного для исследования с применением ПЭВМ колебаний механической системы с инерционным возмущением. Проведен теоретический анализ и экспериментальное исследование работы лабораторной установки, дано описание методики и порядка выполнения лабораторной работы.

Для студентов 2-го курса, обучающихся по машиностроительным и приборостроительным специальностям.

УДК 531.3  
ББК 22.21

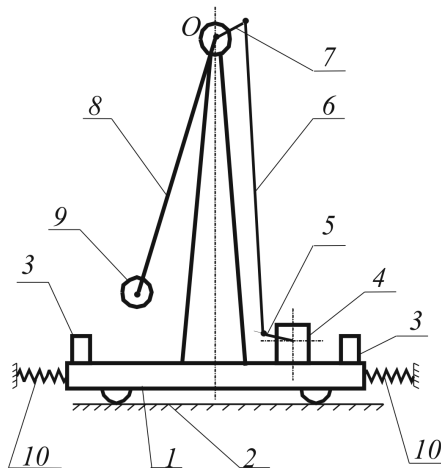
## 1. ОПИСАНИЕ КОМПЛЕКСА

Рассматриваемый в данной работе лабораторный комплекс ТМл-07М «Вынужденные колебания механической системы с инерционным возмущением» является оригинальной научно-методической разработкой кафедры «Теоретическая механика» МГТУ им. Н.Э. Баумана. Он позволяет проводить эксперименты по изучению вынужденных колебаний механической системы с инерционным возбуждением. Комплекс состоит из электромеханической установки с блоком управления, аналого-цифрового преобразователя (АЦП), ПЭВМ и программно-методического обеспечения. Общий вид лабораторного комплекса приведен на рис. 1.



Рис. 1. Общий вид лабораторной установки

Электромеханическая лабораторная установка (рис. 2) представляет собой механическую систему, состоящую из тележки 1, перемещающейся на неподвижном основании по направляющим (рельсам) 2 в горизонтальном направлении, и установленного на тележке маятника с грузом 9, который может закрепляться на стержне 8 на различных расстояниях от точки  $O$ . Маятник может поворачиваться вокруг горизонтальной оси, проходящей через точку  $O$  и перпендикулярной направлению движения тележки. Установка приводится в движение электродвигателем 4, закрепленным на



**Рис. 2.** Схема лабораторной установки:  
 1 – тележка; 2 – направляющие (рельсы); 3 – груз; 4 – электродвигатель; 5 – кривошип; 6 – тяга; 7 – рычаг; 8 – стержень; 9 – груз; 10 – пружина

тележке. Вращение вала электродвигателя через червячный редуктор и муфту передается кривошипному механизму с регулируемым эксцентриковым механизмом. Кривошип 5 в виде эксцентрика на муфте через тягу 6 соединен с рычагом 7, закрепленным на общей с маятником оси. Кроме того, на тележке 1 с целью увеличения ее массы могут быть установлены дополнительные грузы 3. Питание электродвигателя и управление скоростью его вращения осуществляется с помощью блока управления.

Таким образом, маятник совершает вынужденные колебания по закону, близкому к синусоидальному. Эти колебания и обеспечивают формирование возмущающего воздействия на тележку. Угловые отклонения маятника измеряются с помощью потенциометрического датчика, установленного на его оси. Для измерения перемещений тележки на ней установлен индуктивный датчик. Сигналы датчиков поступают через усилитель блока управления на аналого-цифровой преобразователь. Установка позволяет регистрировать колебательные движения тележки и маятника и получать амплитудно-частотную (АЧХ) и фазочастотную (ФЧХ) характеристики вынужденных колебаний тележки.

Установка может быть использована для выполнения лабораторных работ в различных вариантах. Здесь представлена лабораторная работа, которая проводится при полном оснащении установки: тележка соединена с неподвижным основанием двумя пружинами, а маятнику сообщается от электродвигателя принудительное колебательное движение. В этом случае изучают устанавливающееся колебательное движение тележки.

Лабораторная работа проводится по принципу сравнения экспериментальных и теоретических данных.

Для вынужденных колебаний тележки, вызванных возмущением инерционного типа, при изменении частоты вынужденных колебаний строят теоретические АЧХ и ФЧХ вынужденных колебаний тележки.

Экспериментальные данные отображаются в виде совокупности точек, соответствующих оценкам параметров (частота, амплитуда и фаза) каждого периода вынужденных колебаний при изменении частоты возмущения в некотором диапазоне частот.

Вычисление амплитуды и фазы осуществляется на основе анализа сигналов, снимаемых с датчиков угла отклонения маятника и линейного перемещения тележки, т. е. сигналов возмущения и вынужденных колебаний.

Запись сигналов и их обработку, получение параметров вынужденных колебаний тележки проводят с помощью аппаратно-программного комплекса ПЭВМ.

Пары измерений «частота – амплитуда», «частота – фаза» отображаются в виде точек на экране дисплея, и при постепенном изменении частоты возмущения они сливаются в размытые линии, которые отображают реальные АЧХ и ФЧХ соответственно.

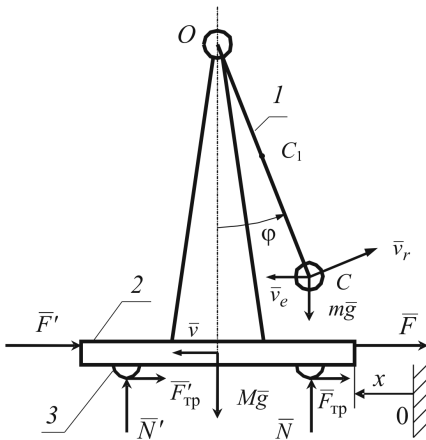
Программное обеспечение рассматриваемого комплекса реализовано в среде системы LabVIEW 7.0 (Laboratory Virtual Instruments Engineering Workbench – среда разработки лабораторных виртуальных приборов) фирмы National Instruments в виде виртуального прибора ТМл-07М.vi, реализующего алгоритм выполнения лабораторной работы.

Система LabVIEW представляет собой интегрированную среду графического программирования и выполнения задач автоматизации измерений и экспериментов, обеспечивающую ввод и обработку экспериментальных данных с отображением результатов обработки в реальном масштабе времени. Экспериментальные

данные вместе с указанной теоретической зависимостью выводятся на экран виртуального прибора в виде массива точек.

## 2. ТЕОРЕТИЧЕСКАЯ ЧАСТЬ

Рассмотрим линеаризованную математическую модель движения тележки. Расчетная схема установки представлена на рис. 3. Здесь условно электродвигатель и механизм привода маятника не показаны.



**Рис. 3.** Расчетная схема установки:  
1 – маятник; 2 – тележка; 3 – колеса

Маятник 1 приводится в колебательное движение с помощью двигателя, установленного на тележке 2. Масса тележки  $M$ . Масса маятника сосредоточена в точке  $C$ . Длина маятника  $OC = l$ . Колеса 3 совершают плоское движение, но в силу малой массы будем учитывать их массу в общей массе  $M$  тележки при ее поступательном прямолинейном движении (вращение колес не учитывается).

Система имеет две степени свободы, введены две обобщенные координаты:  $x$  – линейное перемещение тележки и  $\varphi$  – угловое отклонение маятника. Изменение координаты  $\varphi$  задано, а уравнение  $x = x(t)$  необходимо определить.

Примем, что колеса катятся без скольжения, поэтому работа сил  $\bar{N}$ ,  $\bar{N}'$ ,  $\bar{F}_{\text{тр}}$ ,  $\bar{F}'_{\text{тр}}$  на перемещении тележки равна нулю.

Для составления дифференциального уравнения движения тележки используем уравнение Лагранжа II рода:

$$\frac{d}{dt} \frac{\partial T}{\partial \dot{x}} - \frac{\partial T}{\partial x} = Q_x,$$

где кинетическая энергия системы

$$T = \frac{M\dot{x}^2}{2} + \frac{mv_C^2}{2}.$$

Возможен более точный учет распределения массы маятника, совершающего плоское движение. Например, можно отдельно учитывать массу стержня маятника, считая его однородным стержнем с силой тяжести, приложенной в точке  $C_1$  (при  $OC_1 = l/2$ ).

Скорость тележки

$$\bar{v} = \bar{v}_x + \bar{v}_y,$$

где  $v_x = \dot{x}$  и  $v_y = 0$ .

Скорость точки  $C$

$$\bar{v}_C = \bar{v}_e + \bar{v}_r,$$

где  $\bar{v}_e = \bar{v}$ , а  $v_r = OC \cdot \dot{\phi} = l\dot{\phi}$ .

Тогда

$$\begin{aligned} v_C^2 &= (\bar{v}_e + \bar{v}_r)^2 = \dot{x}^2 + l^2\dot{\phi}^2 + 2\dot{x}l\dot{\phi} \cos(\pi - \phi) = \\ &= \dot{x}^2 + l^2\dot{\phi}^2 - 2\dot{x}l\dot{\phi} \cos \phi. \end{aligned}$$

Обобщенная сила

$$Q_x = \frac{[-c(x_0 + x) - c(x - x_0)] \delta x}{\delta x} = -2cx.$$

Здесь  $c$  — жесткость пружин;  $x_0$  — начальная деформация пружин.

Запишем уравнение для кинетической энергии:

$$T = \frac{(M+m)\dot{x}^2}{2} - m xl\dot{\phi} \cos \phi + \frac{ml^2\dot{\phi}^2}{2}.$$

Тогда уравнение Лагранжа II рода примет вид

$$(M+m)\ddot{x} - ml \left( \ddot{\phi} \cos \phi - \dot{\phi}^2 \sin \phi \right) = -2cx,$$

или

$$(M+m)\ddot{x} + 2cx = ml \left( \ddot{\phi} \cos \phi - \dot{\phi}^2 \sin \phi \right). \quad (1)$$

В правой части дифференциального уравнения (1) вынужденных движений находится нелинейная обобщенная возмущающая сила.

При малом значении  $\phi$  правая часть уравнения (1) приближенно равна

$$ml(\ddot{\phi} - \dot{\phi}^2\phi).$$

Здесь  $\ddot{\phi}$  — величина первого порядка малости, а  $\dot{\phi}^2\phi$  — величина третьего порядка.

Угол  $\phi$  задается принудительно, и  $\phi = \phi_0 \sin(\omega t + \delta)$ , где  $\phi_0$  и  $\omega$  — амплитуда и частота кинематического параметра возмущения  $\phi$ . Амплитуда  $\phi_0$  фиксируется датчиком. Определим первую и вторую производные по времени параметра  $\phi$ :

$$\dot{\phi} = \phi_0 \omega \cos(\omega t + \delta); \quad \ddot{\phi} = -\phi_0 \omega^2 \sin(\omega t + \delta).$$

В силу предположения того, что  $\phi$  — малая величина, линейное дифференциальное уравнение (1) примет вид

$$(M + m)\ddot{x} + 2cx = ml\ddot{\phi} = -ml\phi_0\omega^2 \sin(\omega t + \delta),$$

или

$$\ddot{x} + K^2x = -h \sin(\omega t + \delta), \quad (1a)$$

где

$$K = \sqrt{\frac{2c}{M + m}}; \quad h = \frac{ml\phi_0\omega^2}{M + m}.$$

Здесь  $K$  — частота свободных (собственных) колебаний системы без учета сопротивления (по координате  $x$ ).

Нас интересуют лишь вынужденные колебания тележки (системы). Решение будем искать в виде

$$x = a_B \sin(\omega t + \delta),$$

где  $a_B$  согласно уравнению (1a) определяется соотношением

$$-a_B\omega^2 + a_BK^2 = -h,$$

откуда

$$a_B = \frac{h}{\omega^2 - K^2}.$$

Окончательно получим

$$x = \frac{h}{\omega^2 - K^2} \sin(\omega t + \delta).$$

Амплитудное значение  $x$

$$a_{\text{в}} = \frac{ml\phi_0\omega^2}{(M+m)(\omega^2 - K^2)} = \frac{ml\phi_0 Z^2}{(M+m)(Z^2 - 1)},$$

здесь  $Z = \omega/K$  — коэффициент расстройки;  $\omega$  — круговая частота вынужденных колебаний.

Если не учитывать сопротивление, то разность фаз  $\varepsilon$  составит  $0, \pi/2, \pi$  в зависимости от соотношения  $\omega$  и  $K$ .

Необходимо определить параметры установки:  $c$  — жесткость пружин;  $M, m$  — массы тележки и маятника с грузом  $C$ ;  $l$  — длину маятника.

Найдем также  $\phi_0$  — максимальное значение угла отклонения маятника от вертикали. Величина  $a_{\text{в}} = |x_m|$ . Для эксперимента необходимо определить  $K = \sqrt{\frac{2c}{M+m}}$ . При проведении эксперимента устанавливают (задают) частоту возмущающего воздействия  $\omega$  и фиксируют величину  $x_m$  — максимальное смещение тележки.

Введем величину  $\lambda = \frac{a_{\text{в}}}{l\phi_0}$  — коэффициент динамичности, тогда

$$\lambda = \frac{a_{\text{в}}}{l\phi_0} = \frac{m}{M+m} \frac{Z^2}{|Z^2 - 1|}. \quad (2)$$

Теоретическая кривая  $\lambda = \lambda(Z)$  (рис. 4) строится по формуле (2). Экспериментальные точки, задаваемые координатами  $x_{m_i}$  и  $\omega_i$ , наносятся на график и сравниваются с теоретической кривой.

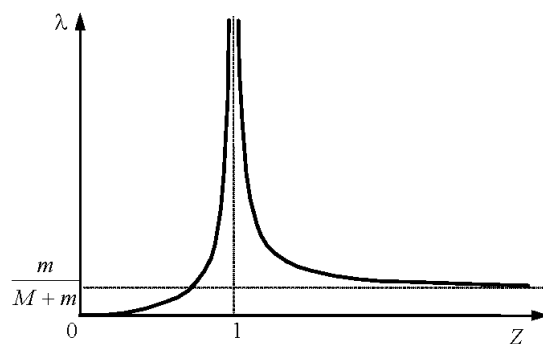


Рис. 4. Теоретическая АЧХ системы без учета сопротивления

Для этого необходимо сначала получить значения

$$Z_i = \frac{\omega_i}{K} \quad \text{и} \quad \lambda_i = \frac{x_{m_i}}{l\varphi_0}.$$

*Замечание 1.* Можно провести учет сопротивления при колебаниях тележки с маятником (определить обобщенный коэффициент сопротивления  $n$ ).

Обобщенную силу в этом случае запишем в виде

$$Q_x = -2cx - \mu\dot{x}.$$

Дифференциальное уравнение движения тележки выглядит так:

$$(M+m)\ddot{x} + \mu\dot{x} + 2cx = -ml\varphi_0\omega^2 \sin(\omega t + \delta),$$

или

$$\ddot{x} + 2n\dot{x} + K^2x = -h \sin(\omega t + \delta), \quad (3)$$

где

$$K = \sqrt{\frac{2c}{M+m}}; \quad 2n = \frac{\mu}{M+m}; \quad h = \frac{ml\varphi_0\omega^2}{M+m}.$$

Решение будем искать лишь для вынужденных колебаний тележки в виде

$$x = a_B \sin(\omega t + \delta - \varepsilon). \quad (4)$$

Дифференцируя (4), получим

$$\dot{x} = a_B \omega \cos(\omega t + \delta - \varepsilon); \quad \ddot{x} = -a_B \omega^2 \sin(\omega t + \delta - \varepsilon). \quad (5)$$

Подставим выражения (4) для  $x_B$  и производных  $\dot{x}_B$ ,  $\ddot{x}_B$  (см. (5)) в дифференциальное уравнение движения (3), тогда

$$\begin{aligned} & -a_B \omega^2 \sin(\omega t + \delta - \varepsilon) + 2n\omega a_B \cos(\omega t + \delta - \varepsilon) + \\ & + K^2 a_B \sin(\omega t + \delta - \varepsilon) = -h \sin[(\omega t + \delta - \varepsilon) + \varepsilon] = \\ & = -h [\sin(\omega t + \delta - \varepsilon) \cos \varepsilon + \cos(\omega t + \delta - \varepsilon) \sin \varepsilon]. \end{aligned}$$

Отсюда

$$\begin{aligned} a_B (K^2 - \omega^2) &= -h \cos \varepsilon; \quad a_B 2n\omega = -h \sin \varepsilon; \\ a_B &= \frac{h}{\sqrt{(K^2 - \omega^2)^2 + 4n^2\omega^2}}; \quad \operatorname{tg} \varepsilon = \frac{2n\omega}{K^2 - \omega^2}, \end{aligned}$$

где  $\varepsilon$  – разность фаз,  $\varepsilon = \Psi_B - \Psi_{B.K}$ ;  $\Psi_B$  – фаза возмущения;  $\Psi_{B.K}$  – фаза вынужденных колебаний тележки.

Далее получим

$$a_{\text{в}} = \frac{ml\phi_0\omega^2}{(M+m)\sqrt{(K^2 - \omega^2)^2 + 4n^2\omega^2}},$$

или, используя обозначение  $\lambda = \frac{a_{\text{в}}}{l\phi_0}$  — коэффициент динамичности, запишем

$$\lambda = \frac{m}{M+m} \frac{Z^2}{\sqrt{(1-Z^2)^2 + \frac{Z^2}{Q^2}}}, \quad (6)$$

где  $Q = \frac{K}{2n}$  — добротность системы.

Для сдвига фаз  $\epsilon$  получим

$$\tan \epsilon = \frac{Z}{Q(1-Z^2)},$$

откуда

$$\epsilon = \arctan \left[ \frac{Z}{Q(1-Z^2)} \right]. \quad (7)$$

Кривые  $\lambda = \lambda(Z)$ ,  $\epsilon = \epsilon(Z)$  имеют вид, представленный на рис. 5.

*Замечание 2.* Учтем массу стержня при определении кинетической энергии системы:

$$T = \frac{M\dot{x}^2}{2} + \frac{mv_C^2}{2} + \frac{J_{C_1Z}\dot{\phi}^2}{2} + \frac{m_1v_{C_1}^2}{2},$$

где  $v_{C_1}^2 = \bar{v}_{C_1}^2$ ,  $\bar{v}_{C_1} = \bar{v}_{e_1} + \bar{v}_{r_1}$ ;  $\bar{v}_{e_1} = \bar{v}$ ;  $v_{r_1} = \frac{l_1}{2}\dot{\phi}$ ;

$$v_{C_1}^2 = (\bar{v}_{e_1} + \bar{v}_{r_1})^2 = \dot{x}^2 + \frac{l_1^2}{4}\dot{\phi}^2 - 2\dot{x}\frac{l_1}{2}\dot{\phi} \cos \phi.$$

Окончательно получим

$$\begin{aligned} T = & \frac{(M+m+m_1)\dot{x}^2}{2} - \left( m + \frac{m_1}{2} \frac{l_1}{l} \right) \dot{x}l\dot{\phi} \cos \phi + \\ & + \left( ml^2 + J_{C_1Z} + m_1 \frac{l_1^2}{4} \right) \frac{\dot{\phi}^2}{2}. \end{aligned}$$

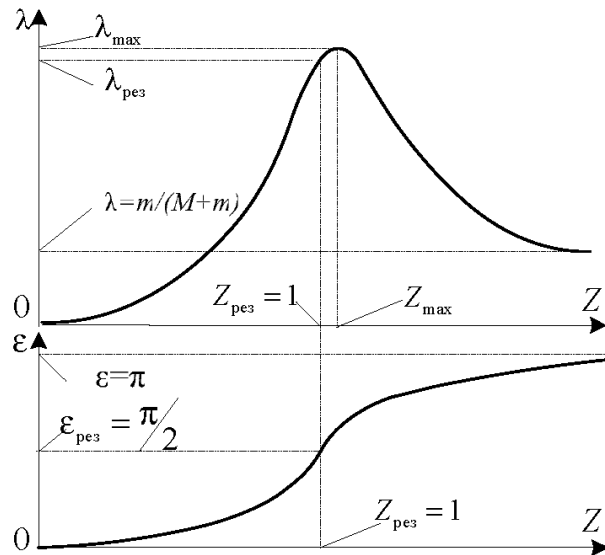


Рис. 5. Теоретические АЧХ и ФЧХ системы с учетом сопротивления

Тогда уравнение движения (3) тележки примет вид

$$(M + m + m_1) \ddot{x} + \mu \dot{x} + 2cx = \left( m + \frac{m_1 l_1}{2 l} \right) l \ddot{\phi} = \\ = - \left( m + \frac{m_1 l_1}{2 l} \right) l \phi_0 \omega^2 \sin(\omega t + \delta),$$

или

$$\ddot{x} + 2n\dot{x} + K^2 x = -h \sin(\omega t + \delta).$$

Здесь

$$K = \sqrt{\frac{2c}{M + m + m_1}}; \quad 2n = \frac{\mu}{M + m + m_1};$$

$$h = \frac{\left( m + \frac{m_1 l_1}{2 l} \right) l \phi_0 \omega^2}{M + m + m_1}.$$

Таким образом, с учетом массы стержня

$$a_B = \frac{\left( m + \frac{m_1 l_1}{2} \right) l \varphi_0 \omega^2}{(M + m + m_1) \sqrt{(K^2 - \omega^2)^2 + 4n^2 \omega^2}}$$

или

$$\lambda = \frac{a_B}{l \varphi_0} = \frac{m + \frac{m_1 l_1}{2}}{M + m + m_1} \frac{Z^2}{\sqrt{(1 - Z^2)^2 + \frac{Z^2}{Q^2}}},$$

где  $\lambda$  — коэффициент динамичности.

### 3. ПРОВЕДЕНИЕ ЛАБОРАТОРНОЙ РАБОТЫ

Для установки ТМл-07М масса груза маятника  $m = 1,056$  кг, масса тележки  $M = 5,557$  кг (без дополнительных грузов 3 (см. рис. 2), масса каждого груза  $m_{\text{гр}} = 1,135$  кг). Результаты испытаний получены при снятых с тележки дополнительных грузах и при длине маятника  $l = 0,196$  м. Данные экспериментального замера жесткости пружин представлены на рис. 6. Среднее значение коэффициента жесткости пружин равно  $c_{\text{ср}} = 217,8$  Н/м. Частота свободных (собственных) колебаний тележки с маятником, полученная расчетным путем при этом значении  $c_{\text{ср}}$ , составит  $K \approx 8,068$  рад/с. Значения  $K$ , обусловленные разбросом значений жесткости  $c$ , лежат в диапазоне  $K \approx 7,88 \dots 8,20$  рад/с.

Непосредственно определить величину  $n$  (или  $\mu$ ) — обобщенный коэффициент сопротивления системы — весьма трудно, поэтому определяем  $n$  с помощью эксперимента.

Оценить параметры  $K$  и  $n$  можно, записав собственные затухающие колебания системы «тележка — маятник». Маятник необходимо скрепить с тележкой, этой системе сообщить толчок или отклонение от положения равновесия и по схеме на рис. 7 определить  $K$  и  $n$ .

Отклоняем систему (тележку с маятником) в крайнее конструктивно допустимое положение и отпускаем без начальной скорости.

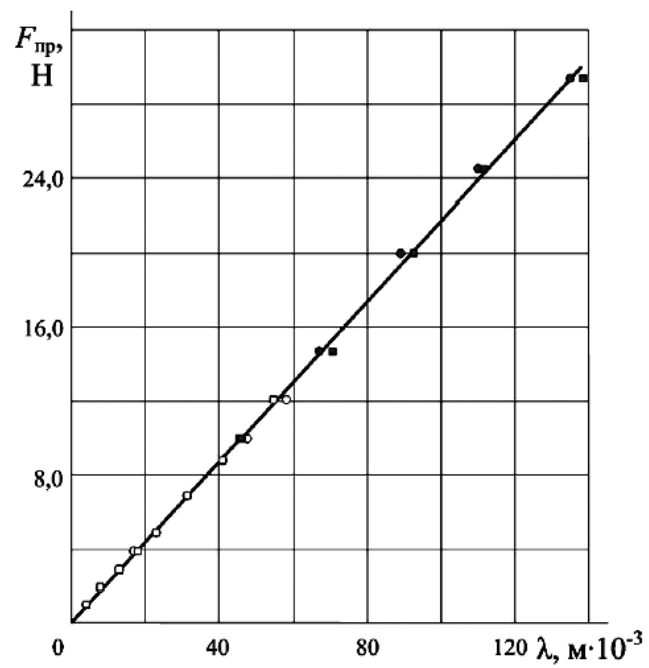


Рис. 6. Тарировка пружин

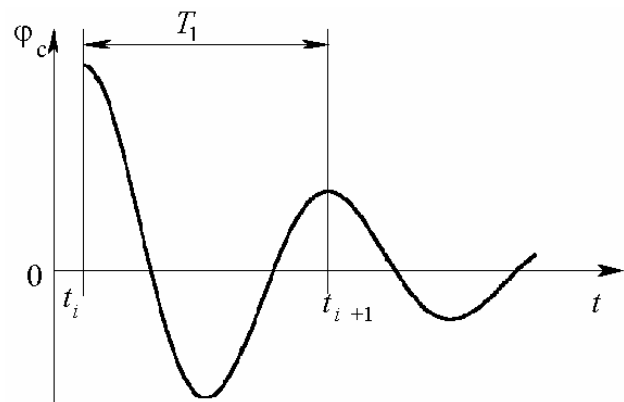


Рис. 7. Схема свободных колебаний тележки

Определяем  $K_1 = 2\pi/T_1$  (где  $T_1$  – условный период затухающих колебаний системы) – круговую частоту затухающих колебаний, а также  $K = \sqrt{K_1^2 + n^2}$  – круговую частоту свободных (собственных) колебаний системы без учета сопротивления.

Декремент колебаний системы и ее логарифмический декремент колебаний имеют вид

$$D = \frac{q_i}{q_{i+1}} = e^{nT_1}; \quad \ln D = \ln \frac{q_i}{q_{i+1}} = nT_1,$$

$$\text{откуда } n = \frac{1}{T_1} \ln \frac{q_i}{q_{i+1}}.$$

В качестве примера на рис. 8 приведен фрагмент записи на экране виртуального прибора свободных колебаний данной системы.

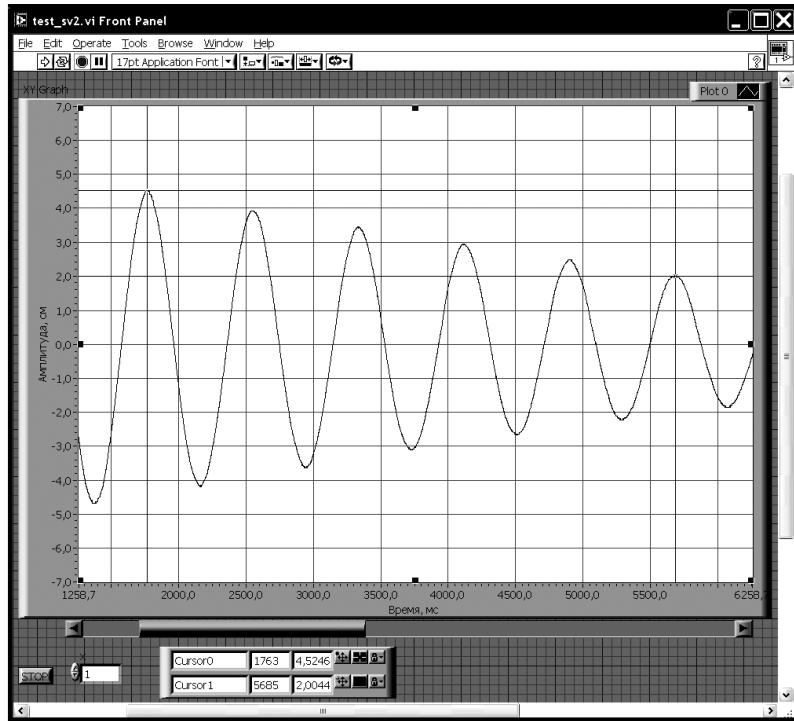


Рис. 8. Запись свободных колебаний системы

По записи затухающих колебаний рассчитываем величины  $K$  и  $n$ , а также  $Q = K/(2n)$  — добротность системы. Замеры  $K$  и  $n$  проводятся при выключенном электродвигателе. Значения круговой частоты свободных (собственных) колебаний системы, определенные таким способом, хорошо совпадают со значениями, полученными расчетным путем по формуле

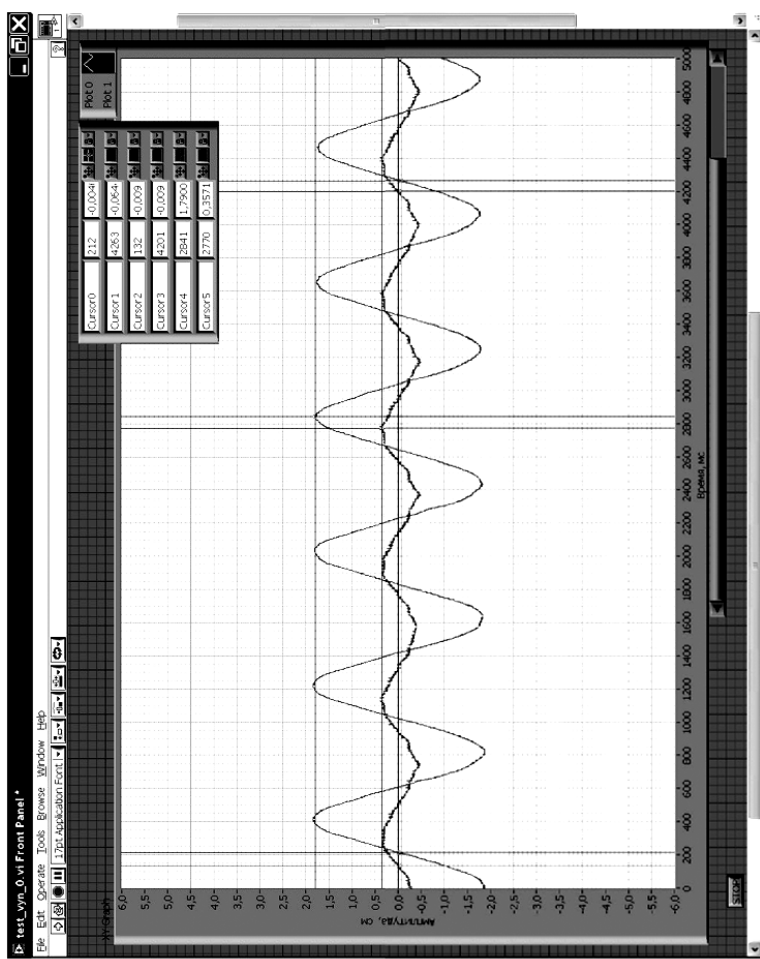
$$K = \sqrt{\frac{2c}{M + m}}.$$

Затем включаем электродвигатель и постепенно увеличиваем частоту возмущения маятника  $\omega$  (следовательно, частоту вынужденных колебаний тележки). С помощью датчиков линейных ( $x$ ) и угловых ( $\phi$ ) отклонений и специальных программ для ЭВМ регистрируем частоту вынужденных колебаний и соответствующее ей значение величины максимального отклонения тележки от положения равновесия ( $\omega_i, x_{m_i}$ ). По этим данным получаем записи вынужденных колебаний тележки при различных значениях частоты колебаний маятника (рис. 9—11).

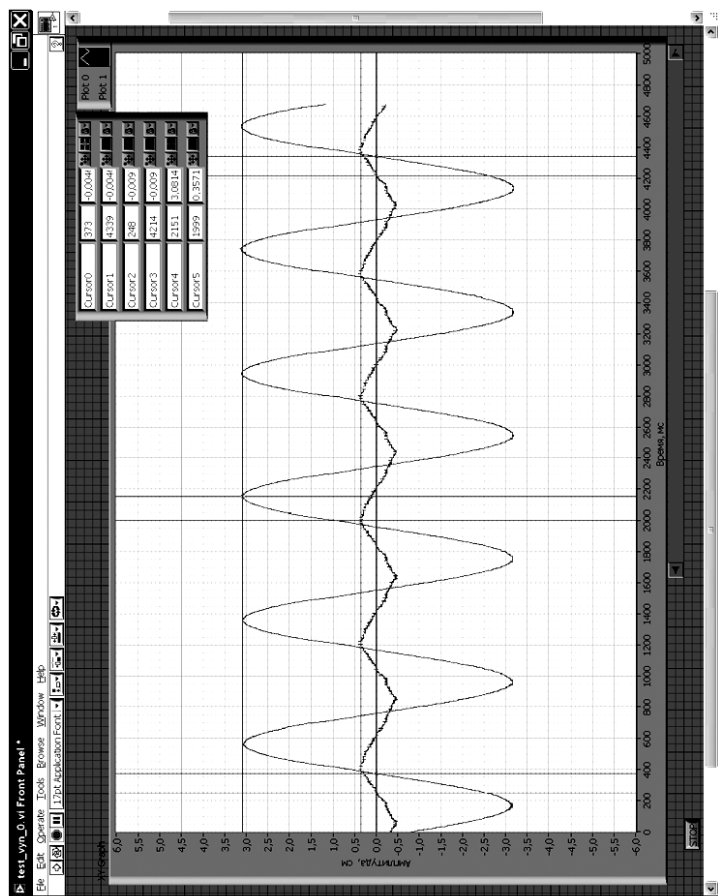
На рис. 12 представлены теоретические кривые АЧХ и ФЧХ вынужденных колебаний тележки, рассчитанные по формулам (6) и (7). Записанные экспериментальные значения приведены на этом рисунке в виде совокупности точек, образующих размытые линии.

Видно, что значения фазы во всем диапазоне частот практически совпадают с теоретической кривой, в то время как экспериментальные точки для амплитуды в области резонанса имеют большой разброс системы, что отражает влияние нелинейных свойств на АЧХ. Тем не менее частота резонанса по АЧХ и ФЧХ хорошо совпадает с теоретической.

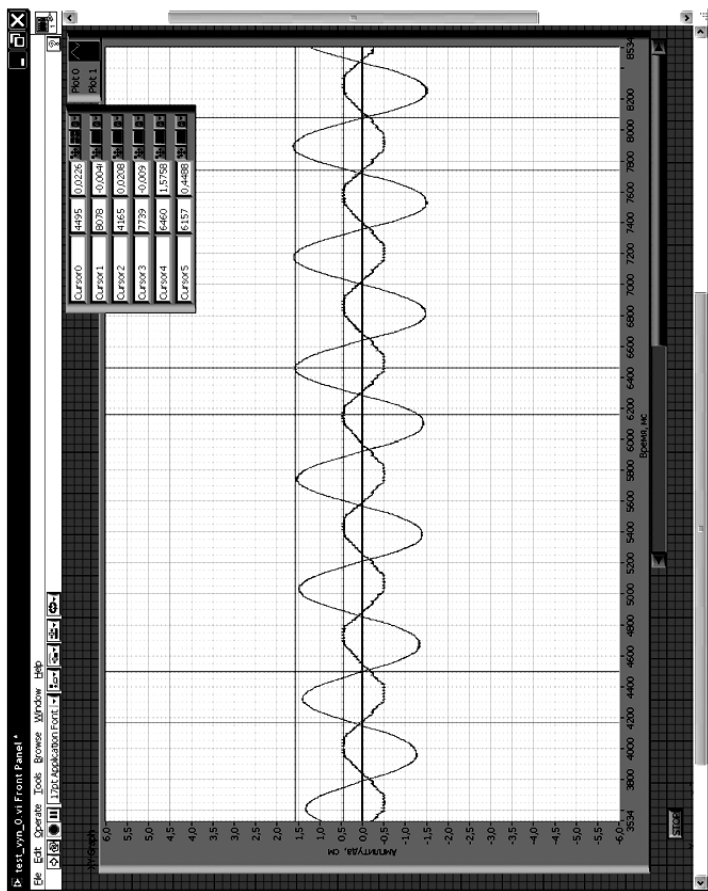
Таким образом, результаты эксперимента подтверждают допустимость применения линейной модели для анализа работы данной установки.



**Рис. 9 (начало).** Колебания маятника и тележки при  $\omega < K$ :  
 $a - \omega = 7,720 \text{ рад/с};$

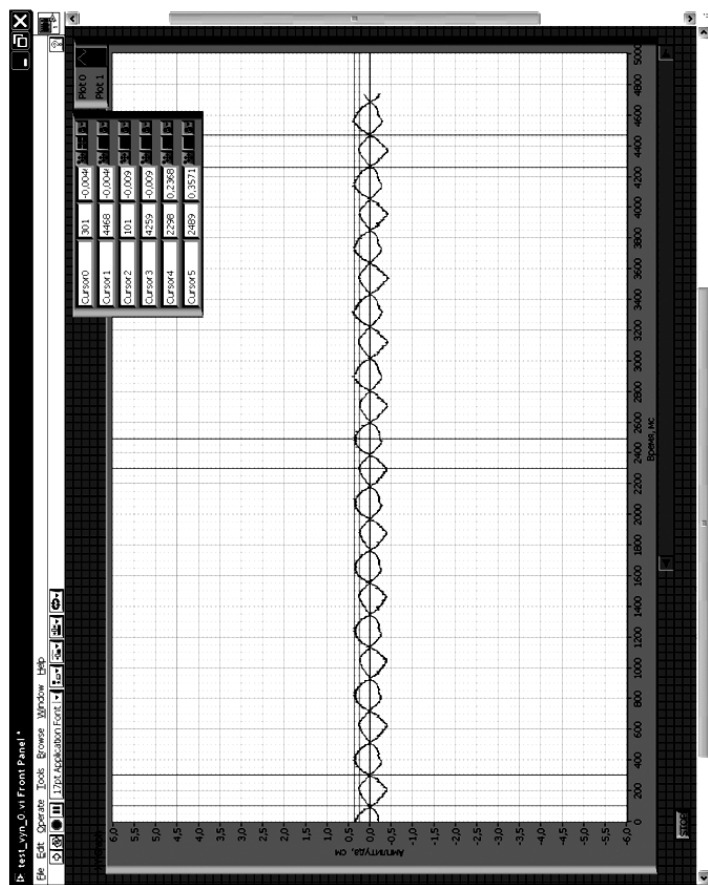


**Рис. 9 (окончание).** Колебания маятника и тележки при  $\omega < K$ :  
 $\delta - \omega = 7,9213 \text{ рад/с}$



*a*

**Рис. 10 (нашлио).** Колебания маятника и тележки при  $\omega > K$ :  
 $a - \omega = 8,768 \text{ рад/с}$



**Рис. 10 (окончание).** Колебания маятника и тележки при  $\omega > K$ :  
 $\delta - \omega = 15,1$  рад/с

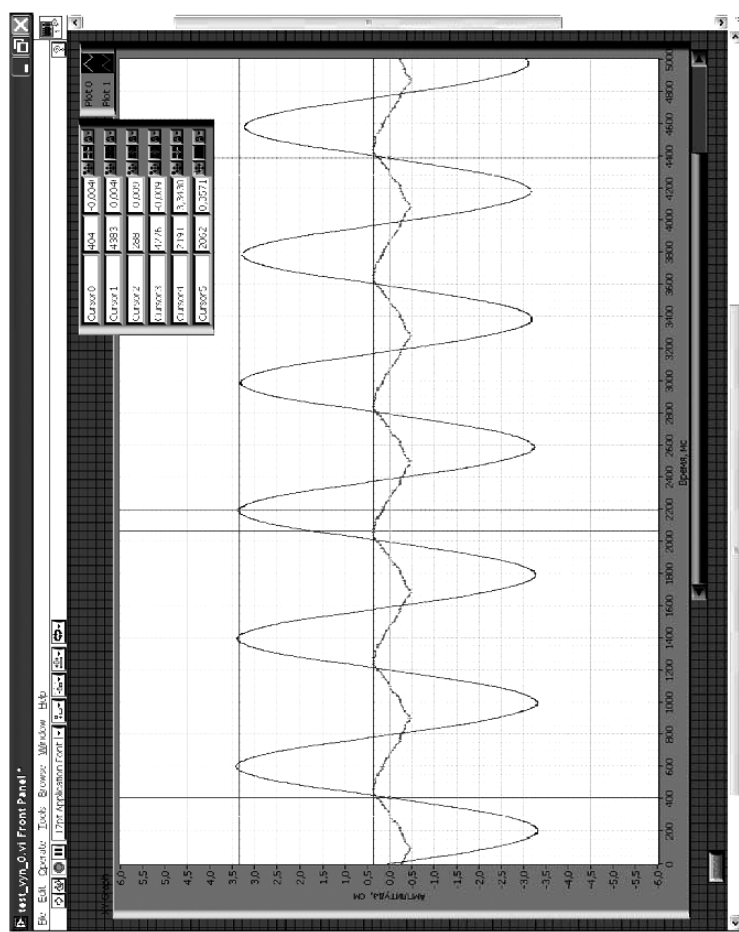


Рис. 11. Колебания маятника и тележки при  $\omega \approx K$

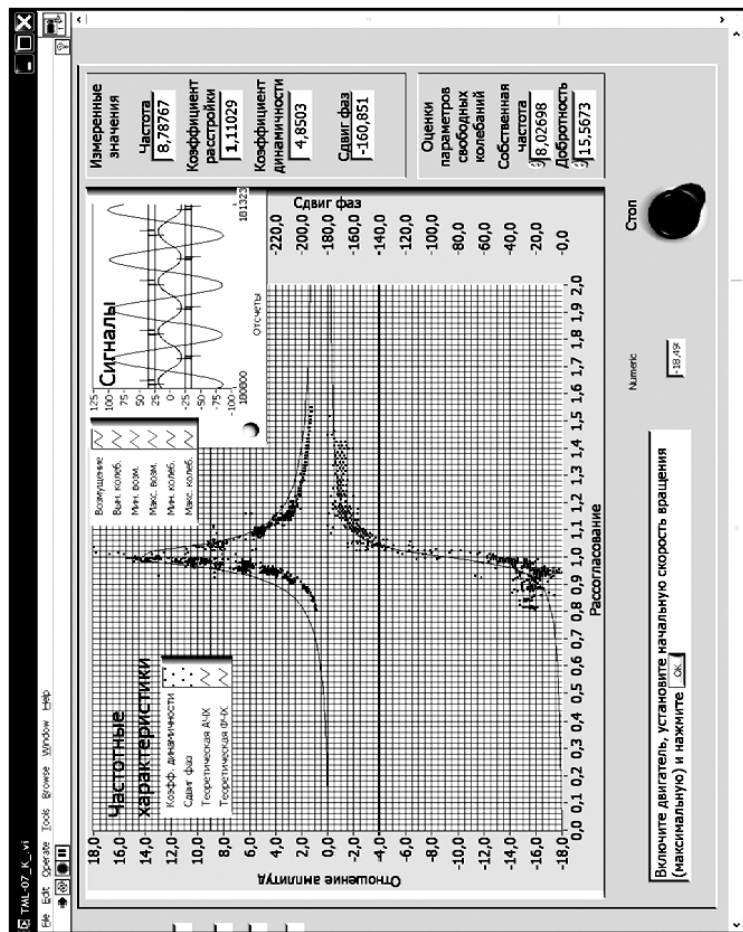


Рис. 12. Теоретические и экспериментальные АЧХ и ФЧХ

## 4. ОБРАБОТКА ЭКСПЕРИМЕНТАЛЬНЫХ ДАННЫХ

Определим параметры системы  $K$  и  $n$  с помощью записи затухающих колебаний (см. рис. 8).

Установим по отметкам курсора условный период затухающих колебаний тележки с маятником:

$$T_1 = \frac{5685 - 1763}{5 \cdot 10^3} = 0,7844 \text{ с}; \quad K_1 = \frac{2\pi}{T_1} = 8,01 \text{ рад/с.}$$

Определим коэффициент сопротивления  $n$ :

$$n = \frac{1}{5T_1} \ln \frac{q_i}{q_{i+5}}; \quad n = \frac{1}{5 \cdot 0,7844} \ln \frac{4,5246}{2,0044} = 0,2076 \text{ рад/с.}$$

Тогда

$$K = \sqrt{K_1^2 + n^2} = 8,013 \text{ рад/с.}$$

Данные расчеты выполнены по замерам с помощью курсоров, проведенных на экране виртуального прибора (см. рис. 8). Здесь частота колебаний несколько меньше ее значения (8,068 рад/с), полученного в подразд. 3 расчетным путем без учета массы стержня маятника.

Определение собственной частоты по графику (см. рис. 8) с более грубым замером условного периода (по одному колебанию) дает

$$T_1 \approx 0,8 \text{ с}; \quad n = 0,211 \text{ рад/с.}$$

На рис. 12 представлены данные, полученные при обработке результатов экспериментов на ЭВМ:

$K = 8,02698$  рад/с — «собственная частота»;

при  $Q = \frac{K}{2n} = 15,5673$  — «добротность».

Отсюда

$$n = \frac{K}{2Q} = 0,2578 \text{ рад/с.}$$

На рис. 9, *a* представлены графики возмущения (колебание маятника) и вынужденных колебаний тележки при частоте  $\omega = 7,7208$  рад/с  $< K$ ,

$$\lambda = \frac{a_B}{l\phi_0} = \frac{1,7900}{0,3571} = 5,013$$

(коэффициент динамичности).

Установим величину разности фаз

$$\varepsilon = \Psi_{\text{в}} - \Psi_{\text{в.к}} = \omega(t_1 - t_2) = \omega \cdot \Delta t,$$

где  $\Delta t$  — запаздывание по времени вынужденных колебаний тележки (отклик) по отношению к колебаниям маятника (сигнал возмущения).

Найдем

$$\varepsilon = \omega \cdot \Delta t = 7,7208 \cdot \frac{2841 - 2770}{10^3} = 0,5482 \text{ рад},$$

или

$$\varepsilon \approx 31,41^\circ.$$

Коэффициент расстройки

$$Z = \frac{\omega}{K} = 0,9619.$$

Эти данные удовлетворительно соответствуют экспериментальным точкам на рис. 12. Однако теоретическая АЧХ лежит несколько выше экспериментальных данных.

Для данных, представленных на рис. 9, б, получим

$$T' = 0,7932 \text{ с.}$$

Определим частоту вынужденных колебаний:

$$\omega = \frac{2\pi}{T'} = \frac{2\pi \cdot 10^3 \cdot 5}{(4339 - 373)} = 7,9213 \text{ рад/с.}$$

Найдем частоту возмущения:

$$\omega_{\text{в}} = \frac{2\pi}{T_{\text{в}}} = \frac{2\pi \cdot 10^3 \cdot 5}{(4214 - 248)} = 7,9213 \text{ рад/с} \quad (T_{\text{в}} = 0,7932 \text{ с}).$$

Определим коэффициенты расстройки:

$$Z = \frac{\omega}{K} = 0,9858 \text{ и } Z_{\text{в}} = \frac{\omega_{\text{в}}}{K} = 0,9858.$$

Напомним, что должно выполняться равенство  $\omega = \omega_{\text{в}}$ ,  $Z = Z_{\text{в}}$ .

Коэффициент динамичности

$$\lambda = \frac{a_{\text{в}}}{l\phi_0} = \frac{3,0814}{0,3571} = 8,63.$$

Разность фаз равна

$$\epsilon = \omega \Delta t = 7,9213 \frac{(2151 - 1999)}{10^3} = 1,204 \text{ рад}; \quad \epsilon = 69^\circ.$$

На рис. 9 представлены случаи, когда  $\omega < K$ , т. е.  $Z < 1$ . Все расчеты соответствуют экспериментальным данным, указанным на рис. 12.

Рассмотрим рис. 10, а.

Определим частоты вынужденных колебаний и возмущения  $\omega$  и  $\omega_b$ :

$$\omega = \frac{2\pi}{T'} = \frac{2\pi \cdot 5 \cdot 10^3}{(8078 - 4495)} = 8,768 \text{ рад/с}; \quad T' = 0,7166 \text{ с};$$

$$\omega_b = \frac{2\pi}{T_b} = \frac{2\pi \cdot 2,25 \cdot 10^3}{(7739 - 6157)} = 8,936 \text{ рад/с}; \quad T_b = 0,703 \text{ с}.$$

Вычислим значения коэффициентов динамичности и расстройки:

$$\lambda = \frac{a_b}{l\phi_0} = \frac{1,5758}{0,4488} = 3,51 \text{ и } Z = \frac{\omega}{K} = 1,092.$$

Разность фаз

$$\epsilon = \Psi_b - \Psi_{b,k} = \omega \Delta t,$$

где

$$\Delta t = \frac{6460 - 6157}{10^3} = 0,303 \text{ с},$$

$$\epsilon = 8,768 \cdot 0,303 = 2,65 \text{ рад, или } \epsilon = 152^\circ.$$

Для данных, представленных на рис. 10, б, получим

$$\omega = \frac{2\pi}{T'} = \frac{2\pi \cdot 10^3 \cdot 10}{(4468 - 301)} = 15,1 \text{ рад/с}; \quad T' = 0,4167 \text{ с} (\omega_b \approx \omega).$$

Коэффициенты динамичности и расстройки:

$$\lambda = \frac{a_b}{l\phi_0} = \frac{0,2368}{0,3571} = 0,663 \text{ и } Z = 1,88.$$

Сдвиг фаз

$$\epsilon = \Psi_b - \Psi_{b,k} = \pi - \omega \Delta t = \pi - 15,1 \cdot 0 \cong \pi \text{ рад, или } \epsilon \cong 180^\circ,$$

где  $\Delta t \cong 0$ .

На рис. 11 изображены колебания, которые происходят при частоте, близкой к резонансной:

$$\omega \approx 7,84 \text{ рад/с.}$$

При этом коэффициент расстройки

$$Z = 0,979$$

и коэффициент динамичности

$$\lambda = \frac{4,7203}{0,5711} = 8,3$$

(по экспериментальным данным (курсорным), см. рис. 11). Среди экспериментальных данных на рис. 12 есть точки в дорезонансной зоне, близкие к этим результатам. Следует отметить, что результаты расчетов весьма чувствительны к точности замеров величин по записываемым экспериментальным данным.

Частота возмущения (колебаний маятника)  $\omega_b$  и частота вынужденных колебаний  $\omega$  действительно совпадают (это хорошо подтверждает эксперимент).

На рис. 12 кривая АЧХ вблизи резонанса имеет асимптотический вид, т. е. значительно приближается к оси ординат. Поэтому здесь экспериментальные данные весьма чувствительны к изменению частоты возмущения (небольшое изменение частоты ведет к значительному изменению амплитуды вынужденных колебаний).

При резонансе  $Z = 1$  и  $\lambda = Q$ .

По экспериментальным данным имеем  $Q = 15,567$  (см. рис. 12).

Разность фаз возмущения и вынужденных колебаний при резонансе

$$|\varepsilon| = \frac{\pi}{2} \text{ рад,}$$

это хорошо видно по кривой, изображенной на рис. 12, где значения  $\varepsilon$  взяты со знаком минус для того, чтобы показать, что вынужденные колебания отстают от возмущения.

На рис. 12 приведены также полученные по АЧХ и ФЧХ данные для точек с коэффициентом расстройки  $Z = 1,11029$  (при частоте возмущения  $\omega = 8,78767$ ): коэффициент динамичности  $\lambda = 4,8503$ , разность фаз — сдвиг фаз  $|\varepsilon| = 160,851^\circ$ .

Следует отметить, что здесь изложены результаты экспериментов при снятых с установки дополнительных грузах 3 (см. рис. 2). Аналогичные испытания могут быть выполнены также при других условиях, например при установленном на тележке 1 (см. рис. 2) одном или двух грузах, с пружинами 10 с другой характеристикой жесткости, отличной от приведенной на рис. 6, и т. п.

## **ОГЛАВЛЕНИЕ**

1. Описание комплекса .....	3
2. Теоретическая часть .....	6
3. Проведение лабораторной работы .....	13
4. Обработка экспериментальных данных .....	23

*Учебное издание*

**Дубинин Владимир Валентинович**  
**Жигуловцев Юрий Николаевич**  
**Витушкин Вячеслав Валентинович**

**АВТОМАТИЗИРОВАННЫЙ ЛАБОРАТОРНЫЙ КОМПЛЕКС  
«ВЫНУЖДЕННЫЕ КОЛЕБАНИЯ МЕХАНИЧЕСКОЙ СИСТЕМЫ  
С ИНЕРЦИОННЫМ ВОЗМУЩЕНИЕМ» ТМЛ-07М**

Редактор *О.М. Королева*  
Корректор *М.А. Василевская*  
Компьютерная верстка *В.И. Товстоног*

Подписано в печать 03.06.2010. Формат 60×84/16.  
Усл. печ. л. 1,63. Тираж 300 экз. Изд. № 10.  
Заказ

Издательство МГТУ им. Н.Э. Баумана.  
Типография МГТУ им. Н.Э. Баумана.  
105005, Москва, 2-я Бауманская ул., 5.